



ББК 63.4

Записки Института истории материальной культуры РАН. СПб.: ИИМК РАН, 2021. № 24. 182 с.  
ISSN 2310-6557

Transactions of the Institute for the History of Material Culture RAS. St. Petersburg: IHMC RAS, 2021.  
No. 24. 182 p.

*Редакционная коллегия:* В. А. Лапшин (главный редактор), В. А. Алёшкин, С. В. Белецкий,  
С. А. Васильев (редактор-составитель), М. Ю. Вахтина, Ю. А. Виноградов, Л. Б. Вишняцкий,  
М. Т. Кашуба, Л. Б. Кирчо (заместитель главного редактора), А. К. Очередной

*Editorial board:* V. A. Lapshin (editor-in-chief), V. A. Alekshin, S. V. Beletsky, S. A. Vasiliev (drafting editor),  
M. Yu. Vachtina, Yu. A. Vinogradov, L. B. Vishnyatsky, M. T. Kashuba, L. B. Kircho (deputy editor),  
A. K. Otcherednoi

*Издательская группа:* Л. Б. Кирчо, Е. В. Новгородских, В. Я. Стеганцева, А. В. Фрибус

*Publishing group:* L. B. Kircho, E. V. Novgorodskikh, V. Ya. Stegantseva, A. V. Fribus

В № 24 «Записок ИИМК РАН» публикуются материалы к научной биографии выдающегося исследователя палеолита Северной, Восточной и Центральной Азии С. Н. Астахова, а также новейшие работы по каменному веку Урала, Сибири, Дальнего Востока. Представлена также серия статей, посвященных материалам одного из ключевых памятников верхнего палеолита Русской равнины — стоянки Сунгирь, открытие которой связано с именем С. Н. Астахова.

Издание адресовано археологам, антропологам, геологам, палеогеографам.

The 24<sup>th</sup> issue of the “Transactions of IHMC RAS” presents papers centering on the research biography of S. N. Astakhov, an outstanding researcher of the Paleolithic of Northern, Eastern and Central Asia, as well as new works about the Stone Age of Ural, Siberia and the Far East. In addition, the volume includes a series of papers devoted to the materials of one of the key Upper Paleolithic localities of the Russian Plain — the Sunghir site, the discovery of which is linked with the name of S. N. Astakhov.

The volume is intended for archaeologists, anthropologists, geologists and paleogeographers.

## ЗАЛЕГАНИЕ СКОПЛЕНИЙ АРХЕОЛОГИЧЕСКОГО МАТЕРИАЛА В РАСКОПЕ 3 СТОЯНКИ СУНГИРЬ

Д. И. СТУЛОВА<sup>1</sup>

**Ключевые слова:** *поздний палеолит, Сунгирь, планиграфия, стратиграфия.*

В статье представлены результаты обработки полевой документации раскопок знаменитой верхнепалеолитической стоянки Сунгирь, изученной О. Н. Бадером в середине прошлого века. Несмотря на впечатляющую вскрытую площадь, которая составляет более 4500 м<sup>2</sup>, опубликованная информация о пространственной организации памятника крайне скупа. В результате изучения материалов из личного фонда О. Н. Бадера была реконструирована планиграфическая и стратиграфическая структура памятника путем создания его цифровой модели. Предпринята также попытка сопоставления стратиграфических данных стоянки с залеганием массового археологического материала на ее площади.

DOI: 10.31600/2310-6557-2021-24-42-51

Верхнепалеолитическая стоянка Сунгирь расположена на восточной окраине г. Владимир, в 192 км от Москвы. Большинство исследователей относят ее к костёнковско-стрелецкой культуре (Аникович 2005: 46), а ряд ученых отмечают в ее материальной культуре как ориньякоидные, так и селетоидные черты (Гаврилов 2004: 97). Памятник был исследован на значительной площади, превышающей 4500 м<sup>2</sup> (рис. 1).

Однако несмотря на внушительность изученной площади, позволяющую получить дополнительные сведения о хозяйственных и бытовых зонах стоянки, опубликованные данные крайне скупы. Сведения о планиграфии и статистические данные по различным материалам памятника опубликованы в двух монографиях (Сукачев и др. 1966; Бадер 1978) и представляют собой краткие сводки распределения материала по исследованной площади, включающие обзор полевых сезонов только до 1970 г. Материалы с 1970 по 1982 г. (8 сезонов) до сих пор не опубликованы. Материалы, полученные до 1970 г., опубликованы кратко, в общих чертах (Бадер 1978: 39–40, рис. 36, 68–71).

Стратиграфия памятника имеет следующий вид (рис. 2). Основная часть находок залегает в брянской погребенной почве (Бадер и др. 2000: 22), которую подстилает стерильная светло-желтая супесь со спущенными в нее углубленными объектами. При этом первые находки начинали встречаться выше данного слоя, в среднем в 20 см над ним, в перекрывающем палевом суглинке (Бадер 1978: 29). Культурный слой

---

<sup>1</sup> Отдел археологии каменного века, ИА РАН, г. Москва, 117292, Россия.

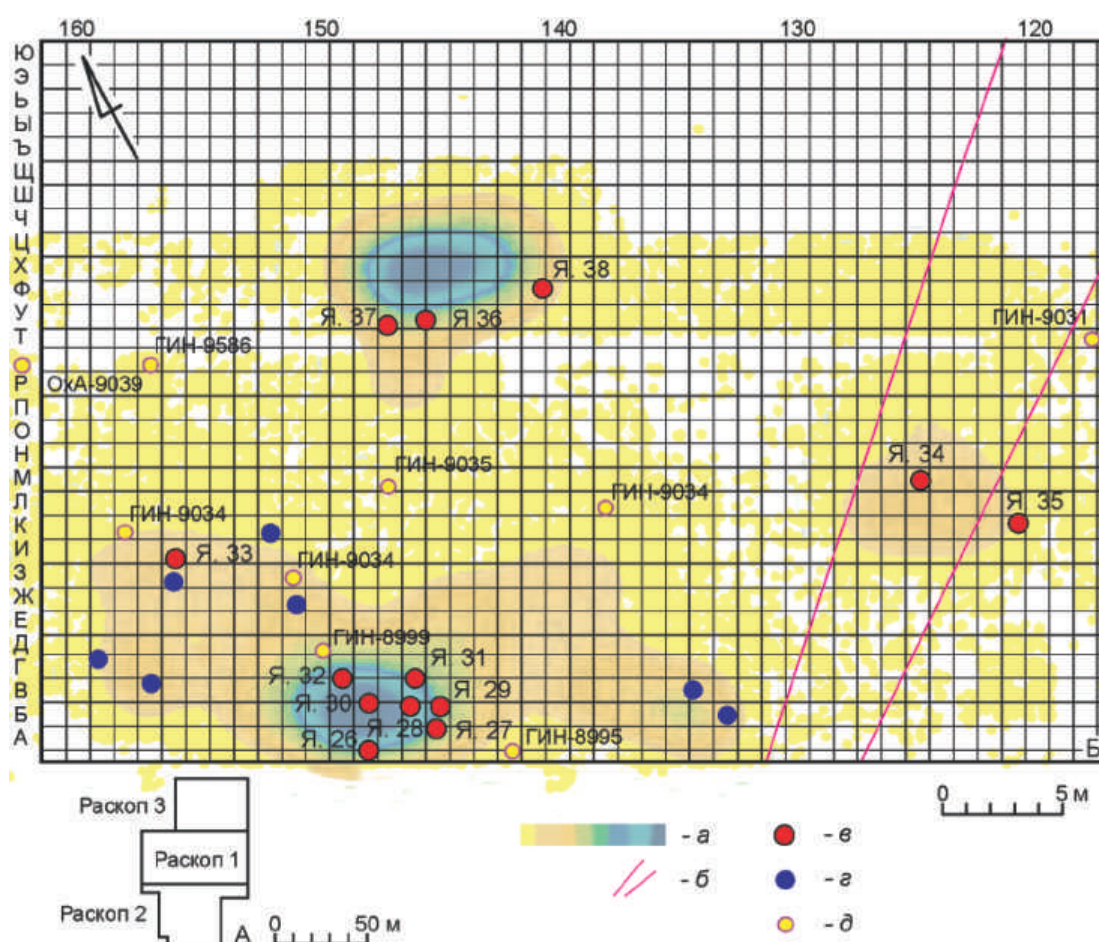


Рис. 1. Верхнепалеолитическая стоянка Сунгирь (1956–1982 гг.). А — схема раскопов 1–3. Б — реконструированный план раскопа 3: а — концентрация находок на 1 м<sup>2</sup>; б — предполагаемая граница древней ложбинки (по: Бадер 1978: 78); в — очажная или хозяйственная яма; г — кострище; д — место отбора образцов для радиоуглеродного анализа

Fig. 1. Upper Paleolithic site of Sunghir (1956–1982 гг.). А — scheme of excavation areas 1–3. Б — reconstructed plan of excavation area 3: а — concentration of finds on 1 m<sup>2</sup>; б — presumed border of a small ancient depression (after Бадер 1978: 78); в — hearth or domestic pit; г — fireplace; д — place where samples for radiocarbon analysis were taken from

стоянки сильно нарушен солифлюкционными и мерзлотными процессами (Там же: 32). Перемещение слоев вниз по склону, размывы, рассечение мерзлотными трещинами, прорезающими культурный слой на всю мощность, и пр. усложнило работу по фиксации объектов — скоплений, гумусированных пятен и очажных ям. Ю. А. Лаврушин пишет о «криогенной оструктуренности» слоя Сунгирия, поскольку верхняя часть нижней ископаемой почвы имеет плитчатую структуру, отдельные которой покрыты белесой полиминеральной (кварц, полевые шпаты, слюда) присыпкой. Книзу плитчатость постепенно переходит в ореховатость, которая связывается с гранулометрическим составом почв (Позднепалеолитическое поселение Сунгирь... 1998: 222–223). Морфологические признаки криогенеза, такие как деформация, по морфологии напоминают солифлюкционные. Однако прямых доказательств солифлюкционного течения материала не наблюдается, и допускается

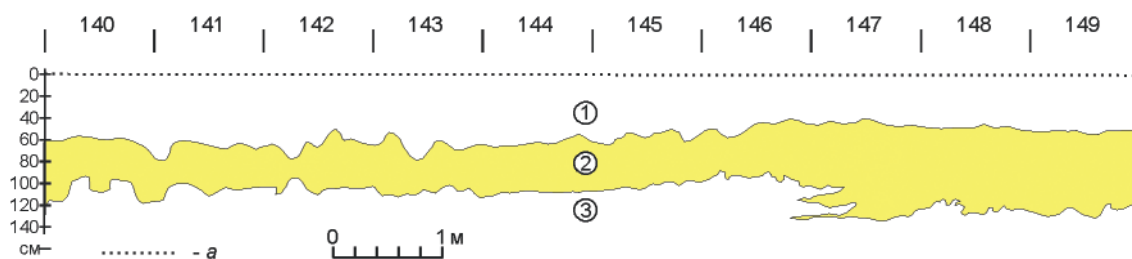


Рис. 2. Сунгирь, раскоп 3, разрез юго-западной стенки: 1 — перекрывающий палевый суглинок; 2 — погребенная почва, состоящая из темно-серого сильно гумусированного ожелезненного суглинка; 3 — желтоватая подстилающая супесь; *a* — уровень появления находок, первый условный горизонт

Fig. 2. Sunghir, excavation area 3, southwestern wall: 1 — pale loam; 2 — buried soil consisting of dark-grey ferruginous loam with a high content of humus; 3 — underlying yellowish sandy loam; *a* — upper level of finds, first conventional horizon

возможность его гравитационного перемещения по склону в увлажненном состоянии (Там же: 229).

Методики фиксации, использованные во время раскопок Сунгирия, накладывают ряд ограничений на применение современных методов пространственного анализа. Планы распространения находок, составленные непосредственно в процессе раскопок, выполнены на миллиметровке в масштабе 1 : 20. На планах присутствуют отметки о годе раскопок, порядковом номере раскопа (1, 2, 3, 4), номер условного горизонта и его мощность в сантиметрах от нулевой линии или репера, фамилия составителя, номера квадратов и специальные условные знаки находок с расшифровкой. Памятник раскапывался условными горизонтами, имевшими разную толщину. Первый условный горизонт в разные годы отсчитывался от разных отметок условного «0». На площади раскопа 1 материал фиксировался суммарно и наносился на единый план на глубинах от 0 до –90 см. На площади раскопов 2 и 4 мощность условных горизонтов варьировала от 8 до 35 см, причем этот разброс наблюдается даже для участков, прилегающих друг к другу. На площади раскопа 3 мощность горизонтов равнялась 20 см вне зависимости от года раскопок и насыщенности слоя. Лишь в исключительных случаях, применительно к участку в 67 м<sup>2</sup> (из 1250 м<sup>2</sup>) на раскопе 3, условный 20-сантиметровый горизонт делился пополам. Информацию о стратиграфии памятника содержат схемы стенок раскопов и разрезы очажных ям. Однако до нас дошли не все полевые разрезы, а часть сохранившихся не удалось приобщить к работе, так как на них не обозначена нулевая линия.

Среди всех раскопов наиболее полные сведения об уровнях залегания находок сохранились для раскопа 3. На площади раскопа 2 находился участок, исследованный в 1958 г., опись которого утеряна. Это не позволяет анализировать процентное соотношение различных категорий каменного инвентаря, можно оперировать только общим количеством находок. На площади раскопа 1 условные горизонты не выделялись вообще.

Площадь раскопа 3 была вскрыта с 1966 по 1982 г., она была отделена от раскопа 1 стратиграфической бровкой шириной в 3 м, которая была нарушена лишь шурфом 1956 г. Распространение и концентрация каменных изделий, костей и

углей были представлены в публикации вместе (Бадер 1978: рис. 68–71). В эту монографию вошли только материалы 1956–1969 гг., материалы с 1970 по 1982 г. не рассматривались (Там же: 3). Мы будем использовать все доступные материалы. Для анализа концентрации находок разных категорий были составлены карты-схемы распределения материалов как единой толщей, так и по условным горизонтам. Для этого были использованы полевые планы, состыкованные между собой. Разные категории находок были вручную перенесены на сетку квадратов в программе AutoCAD. При этом для каждой находки была задана высота, соответствующая ее положению в определенном условном горизонте, с шагом в 10 мм. Для реконструкции стратиграфии были использованы сохранившиеся планы разрезов и те чертежи, на которых есть обозначение первого условного горизонта (Бадер 1966; 1967; 1970; 1973; 1976; 1977; Михайлова 1982). Они были перенесены на координатную сетку квадратов в соответствии с обозначенным на них местоположением, выявлены верхний и нижний контакты погребенной почвы, на каждый метр разреза представлено не менее 20 отметок для глубин залегания почвы, то есть через каждые 5 см. Глубина полученных из каждого разреза отметок была суммирована, и выведено ее среднее арифметическое значение. В случае, когда на одном разрезе наблюдалось визуальное падение (или поднятие) слоя, он подразделялся на несколько частей, для того чтобы на среднюю арифметическую глубину залегания погребенной почвы не влиял данный фактор. Таким образом, для отдельных участков исследованной площади были получены средние уровни верха и низа погребенной почвы от уровня первого условного горизонта. Помимо среднего арифметического значения глубины были вычислены среднеквадратичное отклонение и стандартная ошибка (Ивченко, Медведев 2010: 105).

На вскрытой площади было выявлено 40 очажных и хозяйственных ям. Планы разрезов с фиксацией уровня обнаружения объектов, выявленных до 1970 г., опубликованы (Бадер 1978: 64–96). Однако из-за упомянутых выше процессов нарушения слоя многие из объектов могли быть обнаружены не сразу. Мной был проведен визуальный анализ для выявления скоплений углей или гумуса над ямами. В тех случаях, когда на планах скопления были выявлены в более высоком стратиграфическом горизонте, такие ямы переносились в более высокий условный горизонт на схемах вертикального распределения материала (рис. 3).

На рис. 4 представлены схемы распределения плотности трех категорий находок: каменных изделий, углей (в том числе костного угля) и костей (в том числе больших костей) по пяти условным горизонтам, каждый из которых был равен 20 см. В связи со слабой насыщенностью в последней колонке представлено сразу два горизонта — 5 и 6. При таком распределении археологического материала границы скоплений стали более очевидными. Практически весь материал раскопа 3 можно разбить на шесть скоплений — на рис. 4 в первой строке первого столбца они были обозначены цифрами с 1 до 6.

Скопление 1 имеет наибольшую концентрацию на уровнях первого и второго условных горизонтов, но практически исчезает к третьему. Восемь из девяти очажных ям зафиксированы только на уровне трех верхних горизонтов.

Скопление 2 имеет не такую ярко выраженную структуру, как первое, оно менее концентрированное. В него входят два кострища, и концентрация угля четко фиксируется по их положению на уровне второго и третьего горизонтов. Оно так же,

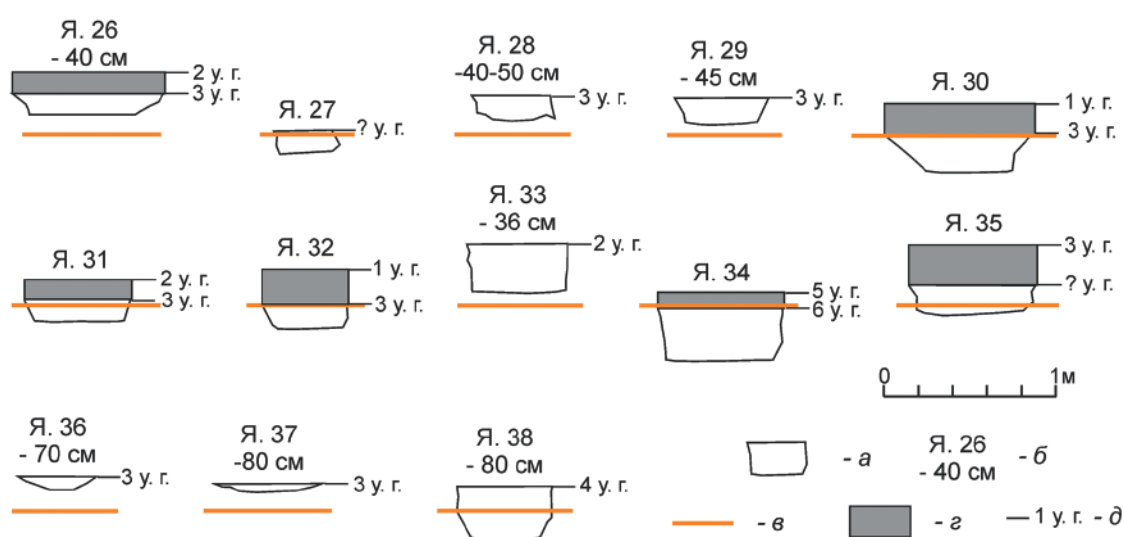


Рис. 3. Сунгирь, раскоп 3, положение и разрезы очажных ям относительно подстилающей супеси и уровень их обнаружения в условном горизонте: а — разрез очажной ямы; б — номер ямы и глубина от первого условного горизонта; в — уровень подстилающей супеси; г — выявленные по полевым планам углистые пятна выше ям; д — верхний уровень условного горизонта. Разрезы сделаны по линиям СВ–ЮЗ

Fig. 3. Sunghir, excavation area 3, position and cross-sections of hearth pits relative to the underlying sandy loam, and the level at which they were found in the conventional horizon: а — hearth pit cross-section; б — pit number and depth from the first conventional horizon; в — level of the underlying sandy loam; г — coaly spots above pits identified through the study of Bader's field plans; д — upper level of the conventional horizon. Cross-sections were made along the NE–SW line

как и первое скопление, исчезает к третьему условному горизонту, однако его особенностью является практически полное отсутствие фаунистического материала. Данное скопление крест-накрест пробивают два мерзлотных клина.

Скопление 3, напротив, начинает проявляться только на уровне второго горизонта и достигает наибольшей концентрации материалов на уровне третьего, продолжаясь до завершения культурного слоя. Это скопление тоже пробито мерзлотным клином, по обеим сторонам от которого зафиксированы углистые и гумусные пятна. Скопление состоит из трех кострищ и одной очажной ямы, которая обнаружена на уровне второго горизонта. Концентрация кремневых изделий достигает максимальных значений вокруг одного из кострищ, костный материал распадается на два участка по сторонам от скопления кремня, а углистоности не имеют четкой структуры.

Скопление 4 локализовано на уровнях третьего и четвертого условных горизонтов. Оно было выделено из-за высокой концентрации каменного инвентаря на третьем горизонте и углистого материала на четвертом. У него нет четких границ, в его пределах нет углубленных объектов, однако оно включает в себя одну интересную деталь — на третьем и четвертом условных горизонтах обнаружено крупное скопление костяных и бивневых бус, количество которых достигает 150 экземпляров на площади, не превышающей 80 см<sup>2</sup>.

Скопление 5 частично зафиксировано в выделенной О. Н. Бадером сухой ложбинке, на северной стороне которой, по его мнению, происходила основная

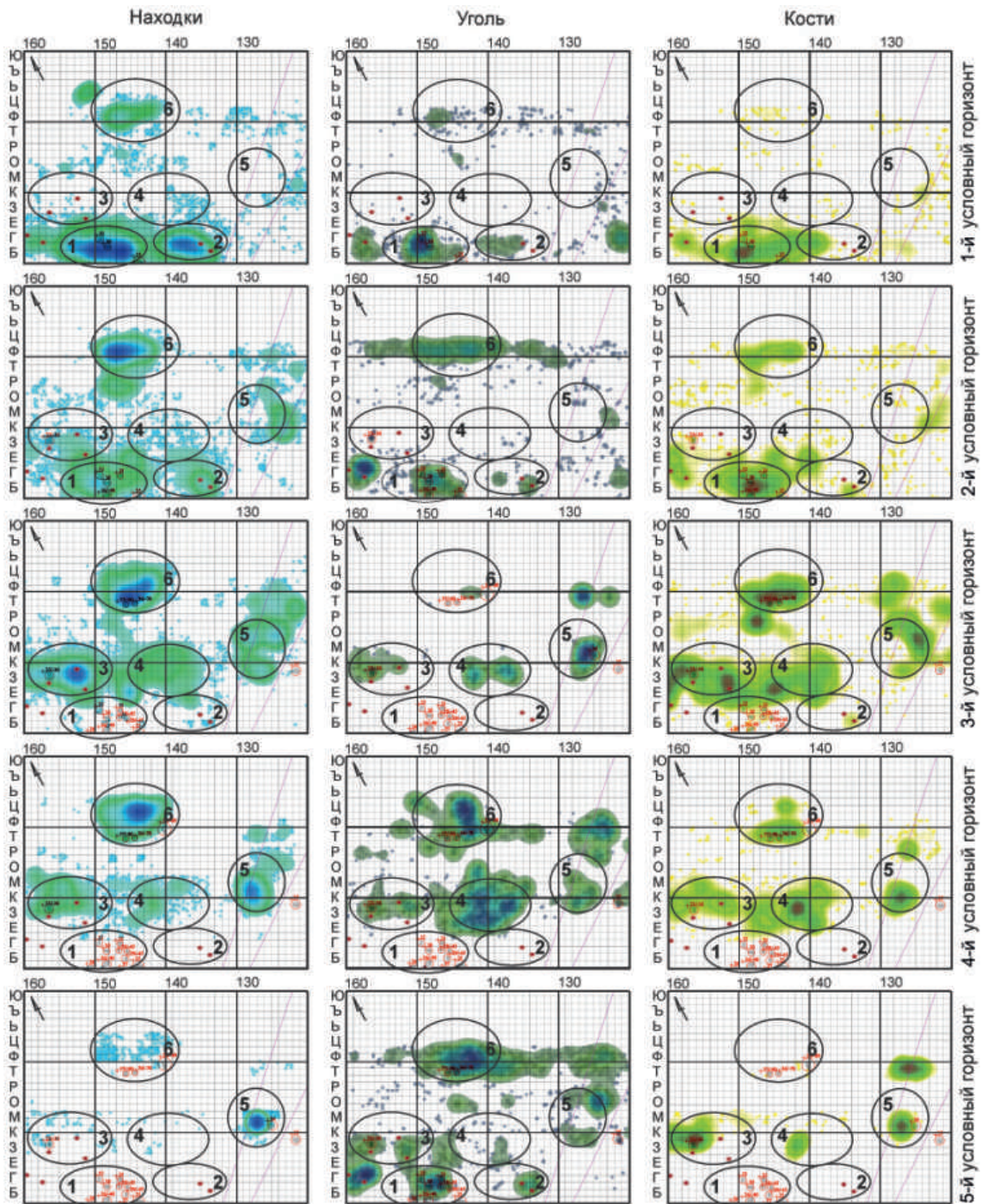


Рис. 4. Сунгирь, раскоп 3, схемы плотности распределения находок, в том числе предметы из расщепленного камня, угли (включая костный уголь) и кости (включая большие кости) по условным горизонтам

Fig. 4. Sunghir, excavation area 3, schemes showing the distribution density of chipped flint objects, coals (including charcoal) and bones (including big ones)



жизнедеятельность сунгирского человека (Бадер 1978: 36). Границы этого скопления могут быть больше продемонстрированных на иллюстрации, и, вероятно, оно распадается на два независимых друг от друга участка по линии В–З. Этот факт может быть связан с постседиментационными процессами, учитывая, что скопление 5 частично заходит в «ложбинку» и залегает под углом к востоку (в соответствии с общим падением рельефа к востоку, к долинам р. Клязьма и ручья Сунгирь). Единственная очажная яма появляется на глубине 100–110 см, то есть на уровне шестого условного горизонта.

Скопление 6 — самое насыщенное археологическим материалом из всех скоплений — распространяется на всю толщу культурного слоя. Пик насыщенности фиксируется на уровнях третьего и четвертого условных горизонтов, сочетаясь с появлением трех очажных ям, входящих в него.

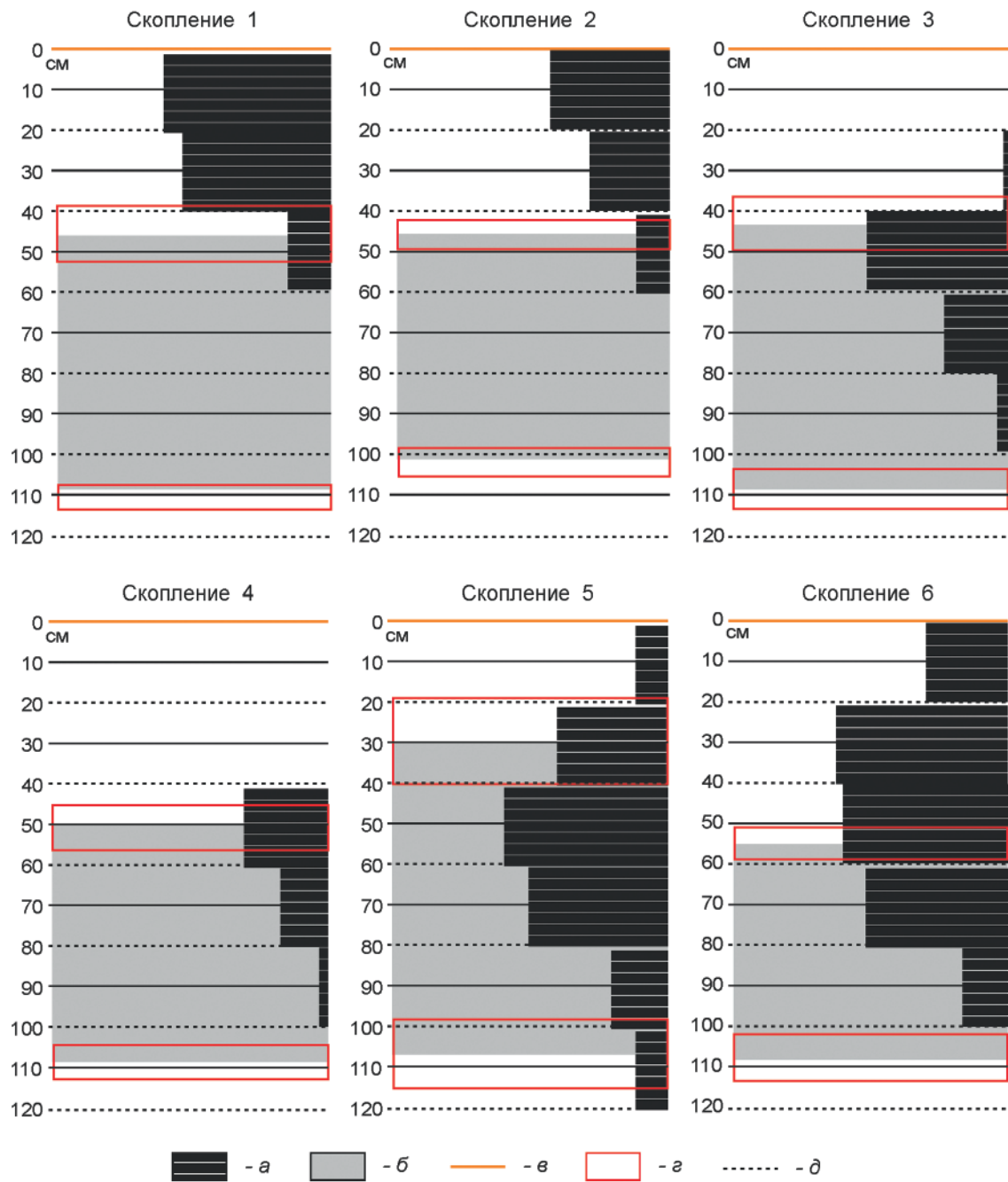
Анализируя распространение материала по вертикали, необходимо учитывать, что раскопки на данном участке происходили в течение полутора десятилетий и условные горизонты за разные годы часто не стыкуются между собой.

Для того чтобы приблизиться к пониманию того, в каких литологических слоях и какой их части располагаются скопления и отойти от использования условных горизонтов, для каждого скопления были составлены графики концентрации материала по высотам (рис. 5). Графики были составлены для высот в диапазоне от условного «0» (начало появления первых находок) до завершения слоя. Однако высотные отметки не позволяют провести корреляцию материала с литологическими слоями.

Условные нулевые линии в графике концентрации скоплений и в стратиграфических разрезах состыкованы. При совмещении объектов были использованы разрезы, ближайšie к каждому отдельному скоплению. Таким образом удалось снизить влияние уклона дневной поверхности на среднюю линию верха и низа погребенной почвы. По этой же причине не имеет смысла применять данную методику к большим площадям, например ко всему раскопу.

На полученном графике (рис. 5) мы видим уровень толщи погребенной почвы, ее верхнюю и нижнюю границы — это среднеарифметическое значение уровня залегания погребенной почвы. Так как данный уровень неодинаков, необходимо было высчитать среднеквадратичное отклонение — применяемый в статистике наиболее распространенный показатель рассеивания значений случайной величины относительно ее математического ожидания, который означает тот или иной вариант оценки этого значения (Ивченко, Медведев 2010: 108). Данный показатель на схеме обозначен красной линией и означает вариабельность значения верхней и нижней отметок уровня погребенной почвы. Также для уровня погребенной почвы была высчитана стандартная ошибка среднего — теоретическое стандартное отклонение всех средних выборки, извлекаемое из совокупности (Там же: 109). Значение этого показателя получилось незначительным — от 0,7 до 1,5 см, что существенно не влияет на график.

Данный график позволяет соотнести концентрации археологического материала с литологическими слоями и получить четкое представление, где залегает то или иное скопление материала. Скопления 1, 2 и 6 локализируются над погребенной почвой, в палевом суглинке, причем отличаются довольно высокой концентрацией материала. Скопления 3, 4 и 5 тяготеют к средней части погребенной почвы. Скопления 1 и 2 располагаются преимущественно в верхней части погребенной почвы. Положение очажных ям в большинстве случаев совпадает с наибольшей



**Рис. 5.** Сунгирь, раскоп 3, залегание находок каменного инвентаря и его скоплений относительно погребенной почвы: *a* — количество находок по полевым описям; *б* — погребенная почва; *в* — первый условный горизонт; *з* — среднее квадратичное отклонение верха и основания погребенной почвы; *д* — границы условных горизонтов

**Fig. 5.** Sunghir, excavation area 3, localization of flints and their accumulations relative to the buried soil: *a* — number of finds according to field inventory lists; *б* — buried soil; *в* — first conventional horizon; *з* — mean square deviation for the top and bottom of the buried soil; *д* — boundaries of conventional horizons

концентрацией материала и в целом демонстрирует картину одновременного залегания и уровня заложения объектов.

Полученные данные по концентрации археологического материала раскопа 3, сопоставленные с уровнем залегания литологических слоев, а также разница в уровне заложения углубленных объектов свидетельствуют в пользу наличия на Сунгирской стоянке нескольких одновременных периодов накопления археологического материала. Данная работа является первым этапом реализации задачи анализа планиграфического распределения и пространственной структуры Сунгирской стоянки на современном методическом уровне.

### Литература и источники

- Аникович 2005 — *Аникович М. В.* Сунгирь в культурно-историческом контексте и проблема становления современного человечества // АЭАЕ. 2005. № 2 (22). С. 37–47.
- Бадер 1966 — *Бадер О. Н.* Отчет о раскопках верхнепалеолитической стоянки Сунгирь в 1966 г. // НОА ИА РАН. Ф. 1. Р. 1. Д. 3367.
- Бадер 1967 — *Бадер О. Н.* Отчет о раскопках палеолитической стоянки Сунгирь в 1967 г. // НОА ИА РАН. Ф. 1. Р. 1. Д. 3560.
- Бадер 1970 — *Бадер О. Н.* Отчет о раскопках палеолитической стоянки Сунгирь в 1969 г. // НОА ИА РАН. Ф. 1. Р. 1. Д. 4201.
- Бадер 1973 — *Бадер О. Н.* Отчет о раскопках палеолитической стоянки Сунгирь в 1973 г. // НОА ИА РАН. Ф. 1. Р. 1. Д. 9591.
- Бадер 1976 — *Бадер О. Н.* Отчет о раскопках верхнепалеолитической стоянки Сунгирь в 1976 г. // НОА ИА РАН. Ф. 1. Р. 1. Д. 7360.
- Бадер 1977 — *Бадер О. Н.* Отчет о раскопках верхнепалеолитической стоянки Сунгирь в 1977 г. // НОА ИА РАН. Ф. 1. Р. 1. Д. 7023.
- Бадер 1978 — *Бадер О. Н.* Сунгирь. Верхнепалеолитическая стоянка. М.: Наука, 1978. 271 с.
- Бадер и др. 2000 — *Бадер Н. О., Бадер О. Н., Алексеева Т. И. и др.* Homo Sungirensis: Верхнепалеолитический человек: экологические и эволюционные аспекты исследования. Homo Sungirensis: Upper Palaeolithic Man: Ecological and Evolutionary Aspects of the Investigation. М.: Научный мир, 2000. 468 с: ил.
- Гаврилов 2004 — *Гаврилов К. Н.* Типология и пространственное распределение каменных орудий Сунгирского верхнепалеолитического поселения // Аникович М. В., Платонова Н. И. (ред.). Костёнки и ранняя пора верхнего палеолита Евразии: общее и локальное: Сб. тр. конф. (Воронеж, 23–26 августа 2004 г.). Воронеж: Истоки, 2004. С. 97–98.
- Ивченко, Медведев 2010 — *Ивченко Г. И., Медведев Ю. И.* Введение в математическую статистику. М.: Изд-во ЛКИ, 2010. 600 с.
- Михайлова 1982 — *Михайлова Л. А.* Отчет о раскопках верхнепалеолитической стоянки Сунгирь во Владимире в 1982 г. // НОА ИА РАН. Ф. 1. Р. 1. Д. 9498.
- Позднепалеолитическое поселение Сунгирь... 1998 — Позднепалеолитическое поселение Сунгирь (погребения и окружающая среда) / Бадер Н. О. (отв. ред.), Лаврушин Ю. А. (ред.). М.: Научный мир, 1998. 270 с.
- Сукачев и др. 1966 — *Сукачев В. Н., Громов В. И., Бадер О. Н.* Верхнепалеолитическая стоянка Сунгирь. М.: Наука, 1966. 138 с.

---

**ACCUMULATIONS OF ARCHAEOLOGICAL REMAINS  
IN EXCAVATION AREA 3 OF THE SUNGHIR SITE**

**D. I. STULOVA**

**Keywords:** *Late Paleolithic, Sunghir, spatial analysis, stratigraphy.*

The paper presents the results of working with O. N. Bader's field records from his excavations at Sunghir in the middle of the last century. Despite the impressive size of the excavated area (over 4500 m<sup>2</sup>), the published information about the spatial organization of the site is extremely limited. The study of materials from O. N. Bader's archive enabled the author to reconstruct the spatial and stratigraphic structure of the site and to create its digital model. In addition, an attempt was undertaken to juxtapose the stratigraphic evidence with the distribution of mass archaeological material.